

San Vittore: Bei Selbstunfall verletzt 02.11.2025

Am Samstagnachmittag ist in (1.11.) San Vittore ein Automobilist mit einem Brückengeländer kollidiert. Er wurde verletzt und in ein Spital transportiert.

Der 79-Jährige fuhr um 15.20 Uhr mit seinem Auto auf der Hauptstrasse von Bellinzona in Richtung San Vittore. Vor der nordöstlichen Zufahrt nach Monticello fuhr er bei der Anfahrt auf eine Linkskurve rechts von der Hauptstrasse in einen abfallenden Grünstreifen. Nach einer kurzen Fahrt auf einem dort parallel zur Hauptstrasse geführten Rad- und Fussweg kollidierte das Auto mit einem Brückengeländer. Der mittelschwer verletzte Lenker wurde von Drittpersonen bis zum Eintreffen eines Teams der Ambulanza Moesano betreut. Dieses übernahm die weitere medizinische Versorgung und transportierte ihn ins Spital nach Bellinzona. Die Kantonspolizei Graubünden ermittelt die genauen Umstände, dies zu diesem Verkehrsunfall geführt haben.

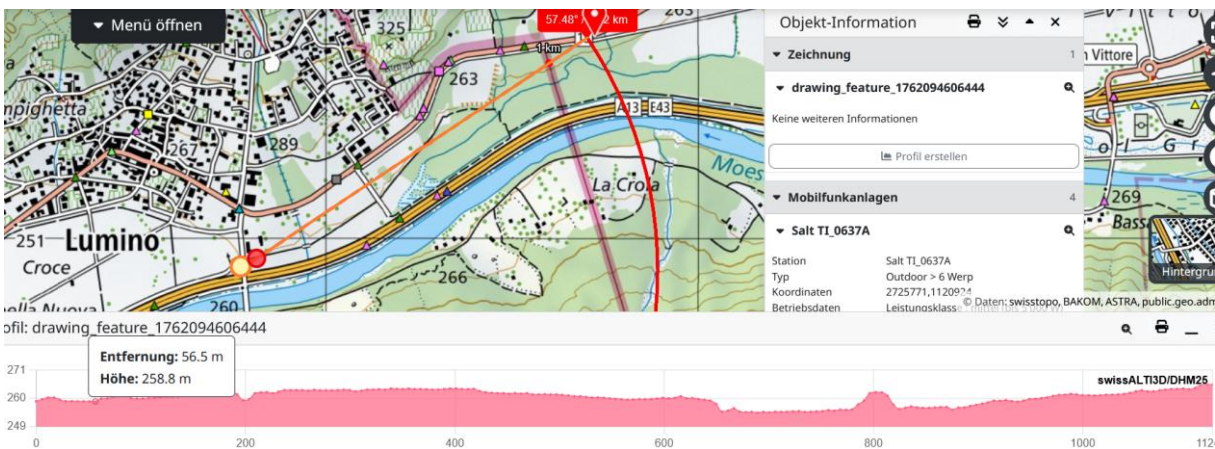


<https://www.gr.ch/DE/institutionen/verwaltung/djsg/kapo/aktuelles/medien/2025/Seiten/202511022.aspx>

Elektrosmog im Unfallablauf

Kapo GR angefragt: [Die Koordinaten sind: 726720 / 121540](#)

Der Lenker ist etwa hier auf der letzten Kuppe – eine leichte Rechtskurve weiterfahrend - von der Strasse geraten:



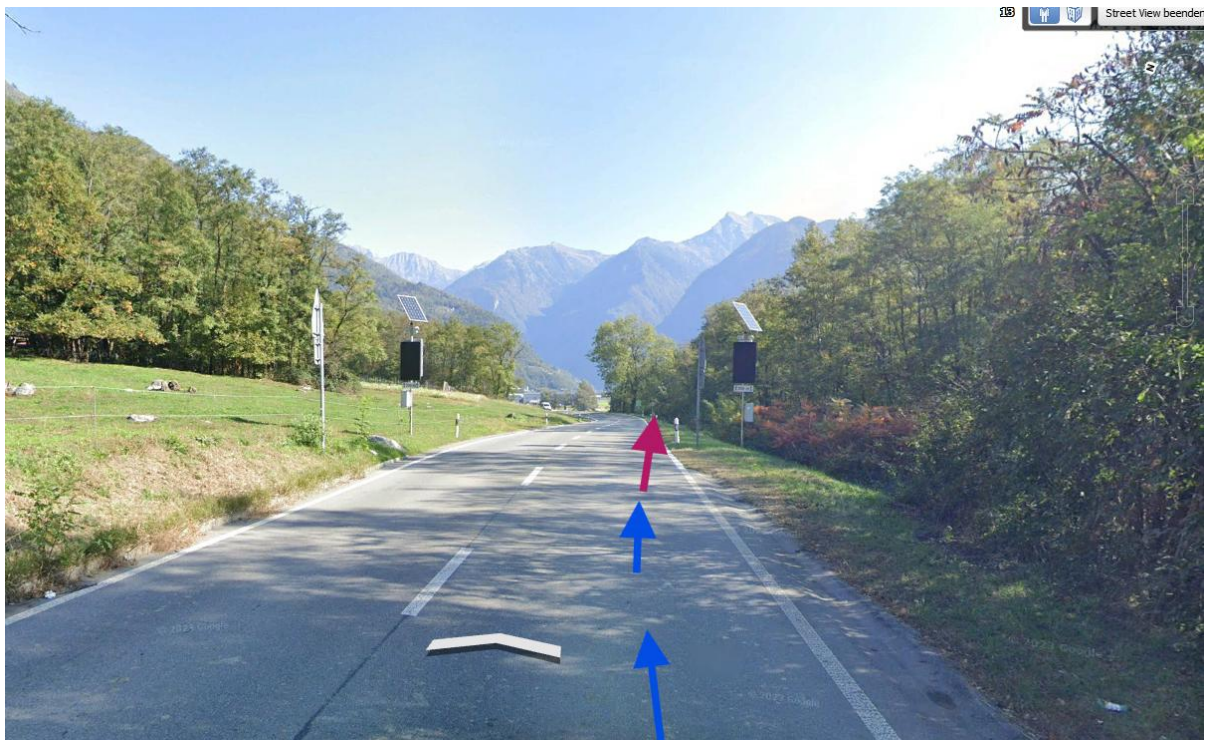
Swisscom sendet hier von hinten rechts in **80°**, 260° und 350°

Lumino via Bassa				5G	Swisscom 780.5 MHz	2725771	1120925	132.4	80°
Lumino via Bassa				5G	Swisscom 2130.3 MHz	2725771	1120925	229.6	80°
Lumino via Bassa				5G	Swisscom 3649.98 MHz	2725771	1120925	197.7	80°

Salt gemäss veralteten Daten 5G NR auf UMTS-Frequenz in 70°.

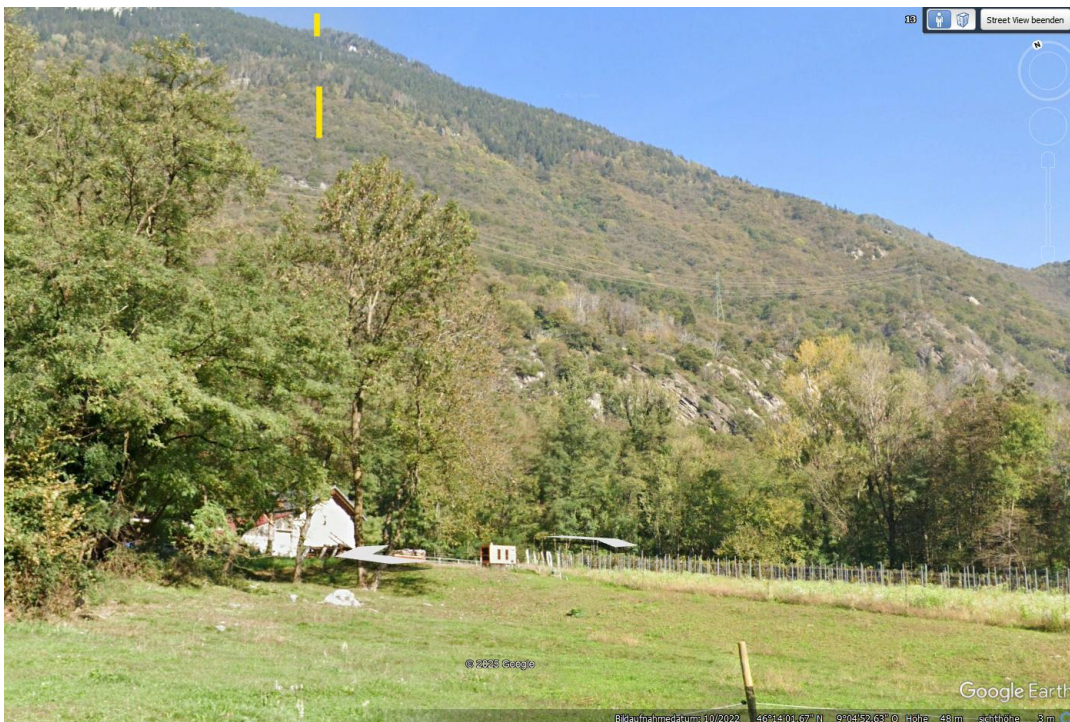
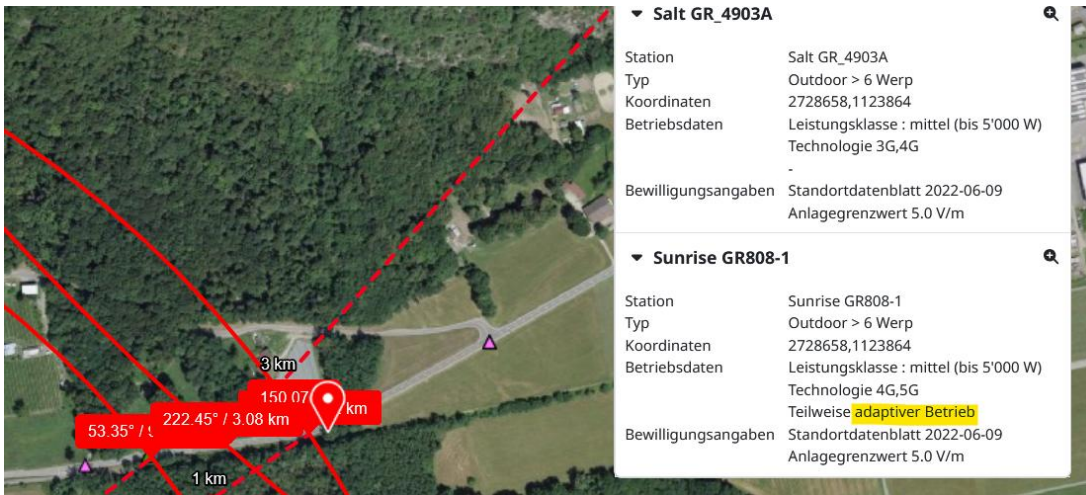
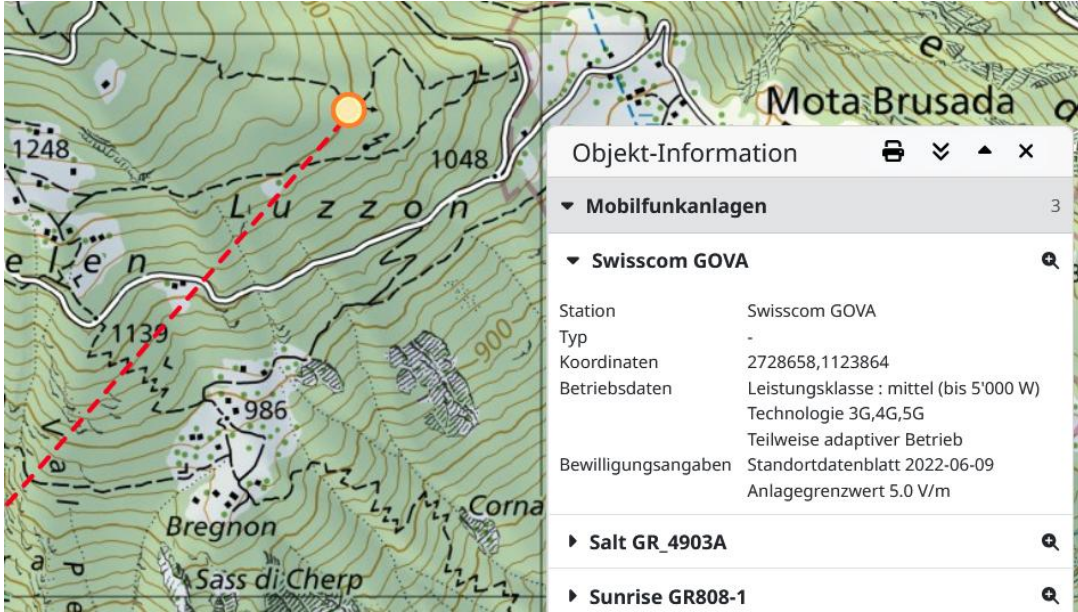
Lumino Terreno Strade Nazionali, Lumino				5G	Salt 763 MHz	2725775	1120925	265.5	70°
---	--	--	--	----	--------------	---------	---------	-------	-----

Gemäss Senderkarte nun mit 5G adaptiv, auf 3600 mHz. Hier ist er vor etwa 150m in der letzten Kurve **exponiert**, der Laubwald ist trocken:



Eine Absenz auf diesem Abschnitt, er hat die leichte Rechtskurve hier weitergefahren.

Sender frontal oben



Im November Standortdatenblatt dieses entfernten Senders – alle Betreiber mit starkem downtilt in diesen Abschnitt - bei NIS-Fachstelle GR angefragt:

Strahlung von Swisscom und Sunrise nur nach Osten und Südosten:

Numero progressivo n (x/y/z)	1 (0.00/0.-00/36.40)	2 (0.00/0.-00/35.60)	3 (0.00/0.-00/36.40)	4 (0.00/0.-00/36.60)	5 (0.00/0.-00/34.50)	6 (0.00/0.-00/34.50)
N. dell'antenna	1SC0709 (GOVA)	2SC0809 (GOVA)	1SC1426 (GOVA)	2SC1826 (GOVA)	1SC3636 (GOVA)	2SC3636 (GOVA)
Banda di frequenza [MHz]	0700-0900	0800-0900	1400-2600	1800-2600	3600	3600
Gestore di rete	Swisscom	Swisscom	Swisscom	Swisscom	Swisscom	Swisscom
Designazione del tipo d'antenna	AHP4518R3v0-6.070809.ADI	80010456v02-800-900.ADI	AHP4518R3v0-6.14182126.ADI	80010678.1800-2600.TF.ADI01	AIR3239B78-36.ENV001	AIR3239B78-36.ENV001
Funzionamento adattivo	no	no	no	no	si	si
Numero di Sub-Arrays	-	-	-	-	16	16
Altezza dell'antenna rispetto all'altitudine 0 [m]	36.40	35.60	36.40	36.60	34.50	34.50
ERP _n : potenza d'emissione [W]	1150.00	920.00	3150.00	2910.00	600.00	600.00

Direzione principale d'irradiazione

Azimut [in gradi da N]	+5	+75	+5	+75	+5	+75
Angolo d'inclinazione meccanico [down tilt, in gradi rispetto al piano orizz.]	+0	-3	+0	-3	+0	-1
Angolo d'inclinazione elettrico [down tilt, in gradi]	-14 ÷ +0	-10 ÷ +0	-12 ÷ -2	-10 ÷ -2	-10 ÷ +0	-10 ÷ +0
Angolo d'inclinazione complessivo [down tilt, in gradi rispetto al piano orizz.]	-14 ÷ +0	-13 ÷ -3	-12 ÷ -2	-13 ÷ -5	-10 ÷ +0	-11 ÷ -1

Scheda complementare 2: (Continuazione)

Numero progressivo n (x/y/z)	7 (0.00/0.-00/41.30)	8 (0.00/0.-00/41.30)	9 (0.00/0.-00/41.30)	10 (0.00/0.-00/41.30)	11 (0.00/0.-00/41.30)	12 (0.00/0.-00/41.30)
N. dell'antenna	A_SRLW (GR808-1)	B_SRLW (GR808-1)	C_SRLW (GR808-1)	A_SRHG (GR808-1)	B_SRHG (GR808-1)	C_SRHG (GR808-1)
Banda di frequenza [MHz]	0700-0900	0700-0900	0700-0900	1400-2600	1400-2600	1400-2600
Gestore di rete	Sunrise	Sunrise	Sunrise	Sunrise	Sunrise	Sunrise
Designazione del tipo d'antenna	AAU5831_073-8_0960_X_CO-_MP_02_12T_S..	AAU5831_073-8_0960_X_CO-_MP_02_12T_S..	AAU5831_073-8_0960_X_CO-_MP_02_12T_S..	AAU5831_142-8_2690_X_CO-_MP_02_12T_S..	AAU5831_142-8_2690_X_CO-_MP_02_12T_S..	AAU5831_142-8_2690_X_CO-_MP_02_12T_S..
Funzionamento adattivo	no	no	no	no	no	no
Numero di Sub-Arrays	-	-	-	-	-	-
Altezza dell'antenna rispetto all'altitudine 0 [m]	41.30	41.30	41.30	41.30	41.30	41.30
ERP _n : potenza d'emissione [W]	1150.00	1150.00	1150.00	1150.00	1150.00	1150.00

Direzione principale d'irradiazione

Azimut [in gradi da N]	+5	+70	+120	+5	+70	+120
Angolo d'inclinazione meccanico [down tilt, in gradi rispetto al piano orizz.]	+0	-5	-5	+0	-5	-5
Angolo d'inclinazione elettrico [down tilt, in gradi]	-12 ÷ -2	-12 ÷ -2	-12 ÷ -2	-12 ÷ -2	-12 ÷ -2	-12 ÷ -2
Angolo d'inclinazione complessivo [down tilt, in gradi rispetto al piano orizz.]	-12 ÷ -2	-17 ÷ -7	-17 ÷ -7	-12 ÷ -2	-17 ÷ -7	-17 ÷ -7

Strahlung von Salt in SR 170°, d.h. nur Randbereich, mit starkem Tilt von -30°

Numero progressivo n (x/y/z)	13 (0.00/0.-00/41.30)	14 (0.00/0.-00/41.30)	15 (0.00/0.-00/41.30)	16 (0.00/0.-00/30.20)	17 (0.00/0.-00/19.85)	18 (0.00/0.-00/30.20)
N. dell'antenna	A_SR36 (GR808-1)	B_SR36 (GR808-1)	C_SR36 (GR808-1)	1STE (GR.4903A)	2STE (GR.4903A)	3STE (GR.4903A)
Banda di frequenza [MHz]	3600	3600	3600	0900	0900	0900
Gestore di rete	Sunrise	Sunrise	Sunrise	Salt	Salt	Salt
Designazione del tipo d'antenna	AAU5831_360-0.3800.X.CO-.MP.02.12T.1..	AAU5831_360-0.3800.X.CO-.MP.02.12T.1..	AAU5831_360-0.3800.X.CO-.MP.02.12T.1..	742264.900.-AD101	742264.900.-AD101	742264.900.-AD101
Funzionamento adattivo	si	si	si	no	no	no
Numero di Sub-Arrays	16	16	16	-	-	-
Altezza dell'antenna rispetto all'altitudine 0 [m]	41.30	41.30	41.30	30.20	19.85	30.20
ERP _n : potenza d'emissione [W]	1000.00	1000.00	1000.00	1280.00	1280.00	1280.00

Direzione principale d'irradiazione

Azimut [in gradi da N]	+5	+70	+120	+10	+80	+170
Angolo d'inclinazione meccanico [down tilt, in gradi rispetto al piano orizz.]	+0	-5	-5	-10	-6	-30
Angolo d'inclinazione elettrico [down tilt, in gradi]	-12 ÷ -2	-12 ÷ -2	-12 ÷ -2	-14 ÷ +0	-14 ÷ +0	-14 ÷ +0
Angolo d'inclinazione complessivo [down tilt, in gradi rispetto al piano orizz.]	-12 ÷ -2	-17 ÷ -7	-17 ÷ -7	-24 ÷ -10	-20 ÷ -6	-44 ÷ -30

Scheda complementare 2: (Continuazione)

Numero progressivo n (x/y/z)	19 (0.00/0.-00/30.20)	20 (0.00/0.-00/19.85)	21 (0.00/0.-00/30.20)	22 (0.00/0.-00/30.20)	23 (0.00/0.-00/19.85)	24 (0.00/0.-00/30.20)
N. dell'antenna	1STS (GR.4903A)	2STS (GR.4903A)	3STS (GR.4903A)	1STU (GR.4903A)	2STU (GR.4903A)	3STU (GR.4903A)
Banda di frequenza [MHz]	1800	1800	1800	2100	2100	2100
Gestore di rete	Salt	Salt	Salt	Salt	Salt	Salt
Designazione del tipo d'antenna	742264.1800.-AD101	742264.1800.-AD101	742264.1800.-AD101	742264.2100.-AD101	742264.2100.-AD101	742264.2100.-AD101
Funzionamento adattivo	no	no	no	no	no	no
Numero di Sub-Arrays	-	-	-	-	-	-
Altezza dell'antenna rispetto all'altitudine 0 [m]	30.20	19.85	30.20	30.20	19.85	30.20
ERP _n : potenza d'emissione [W]	880.00	880.00	880.00	900.00	900.00	900.00

Direzione principale d'irradiazione

Azimut [in gradi da N]	+10	+80	+170	+10	+80	+170
Angolo d'inclinazione meccanico [down tilt, in gradi rispetto al piano orizz.]	-10	-6	-30	-10	-6	-30
Angolo d'inclinazione elettrico [down tilt, in gradi]	-8 ÷ +0	-8 ÷ +0	-8 ÷ +0	-8 ÷ +0	-8 ÷ +0	-8 ÷ +0
Angolo d'inclinazione complessivo [down tilt, in gradi rispetto al piano orizz.]	-10 ÷ -10	-11 ÷ -6	-30 ÷ -30	-10 ÷ -10	-11 ÷ -6	-30 ÷ -30

Wetter trocken, Strahlung ungedämpft.

Zum Verständnis der Abläufe bei solchen Unfällen:

Niels Kuster et al. **NFP 57**: http://www.snf.ch/SiteCollectionDocuments/nfp/nfp57/nfp57_synthese_d.pdf
 Mobilfunk bewirkt Veränderungen der Hirnströme

Einwirkungen von Strahlung auf Prozesse im Gehirn: <https://www.diagnose-funk.org/aktuelles/artikel-archiv/detail?newsid=2257>

M. Mevissen / D. Schürmann: Manmade Electromagnetic Fields and Oxidative Stress—Biological Effects and Consequences for Health. <https://www.mdpi.com/1422-0067/22/7/3772>

«Der unklare Unfall in der Verkehrsmedizin» (AGU-Seminar 2015) Dr. Ulfert Grimm Fachbereich Verkehrsmedizin Institut für Rechtsmedizin St.Gallen <http://aqu.ch/1.0/pdf/aqu-seminar15.pdf>

«Wirkungen des Mobil- und Kommunikationsfunks» Eine Schriftenreihe der Kompetenzinitiative zum Schutz von Mensch, Umwelt und Demokratie e.V.

<https://www.diagnose-funk.org/publikationen/dokumente-downloads/kompetenzinitiative-broschuerenreihe>

Wirkungen von Elektromog auf Verkehrsunfälle: <https://www.hansuelistettler.ch/elektromog/elektromog-im-verkehr/studie>

Keine Messung von Sendeleistungen 5G: <https://www.gigahertz.ch/5g-alarmierende-resultate-erster-testmessungen/>

Funktionsweise von 5G-Antennen: "Understanding Massive MIMO in roughly 2 minutes":
<https://www.youtube.com/watch?v=XBb481RNqGw>

Visualisierung der 5G-spezifischen Reflexionen, von Ericsson: <https://www.youtube.com/watch?v=yTbUSXJ8M-8>

5G-Adaptiv reagiert auf Kollektiv-Verkehrsmittel: https://www.youtube.com/watch?v=pTKa_cEGvJA
Bellinzona: <https://www.youtube.com/watch?v=ekCtC7vJ7Ew>

Zum Thema Herzrhythmus hat Prof. Magda Havas, Trent University, publiziert:
<https://magdahavas.com/electrosmog-exposure/home-environment/new-study-radiation-from-cordless-phone-base-station-affects-the-heart/> Zusammenfassung im emf-portal: <https://www.emf-portal.org/de/article/18905>

Forschungsstand zu wlan: <https://www.diagnose-funk.org/aktuelles/artikel-archiv/detail&newsid=1943>

Magnetfelder unter Hochspannungsleitungen: <https://www.bfs.de/SharedDocs/Videos/BFS/DE/emf-stromleitung.html>

Erklärende Videos auf youtube: <https://www.youtube.com/channel/UC86uloS8IoowSGOGfpMyrsq>

Hansueli Stettler.Bauökologie.Funkmesstechnik.Lindenstrasse 132.9016 St.Gallen.www.hansuelistettler.ch.info@hansuelistettler.ch